

# ボルツマンハイドロコードによる 空間3次元計算の進捗状況

発表者

**岩上 わかな**

Wakana Iwakami

**長倉 洋樹、大川 博督、原田 了、古澤 峻、松古 栄夫、住吉 光介、山田 章一**

Hiroki Nagakura, Hirotada Okawa, Akira Harada, Shun Furusawa,  
Hideo Matsufuru, Kosuke Sumiyoshi, Shoichi Yamada

# Core-Collapse Supernovae

Explosions of massive stars

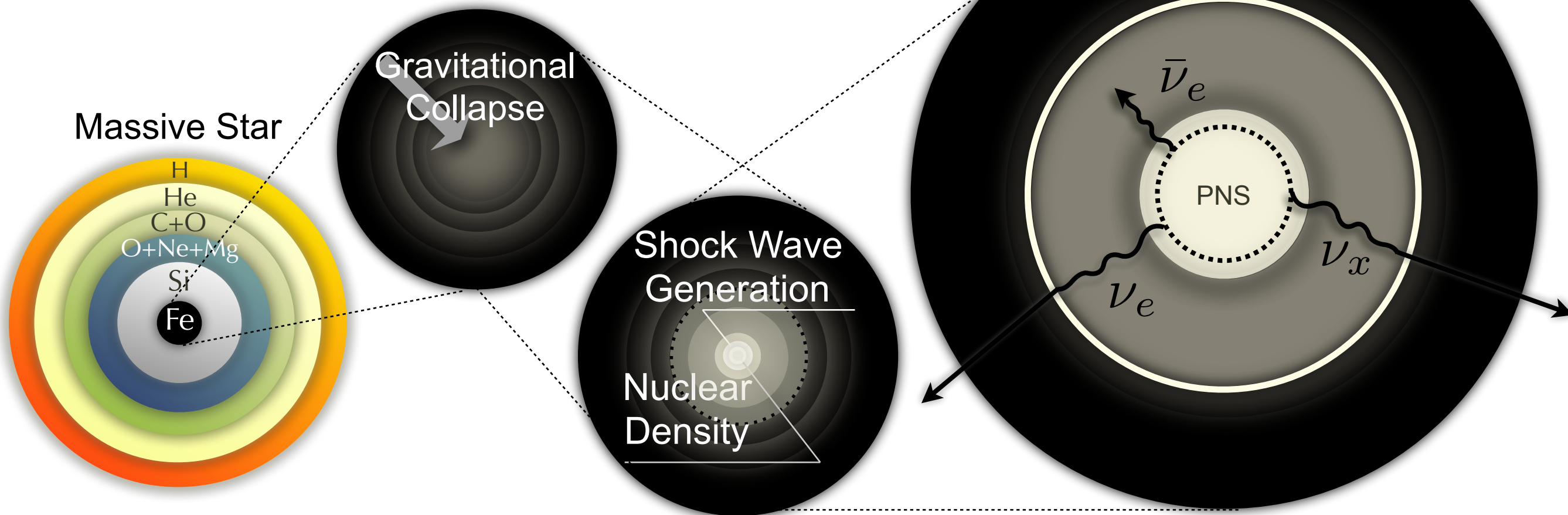
*How do they explode ?*



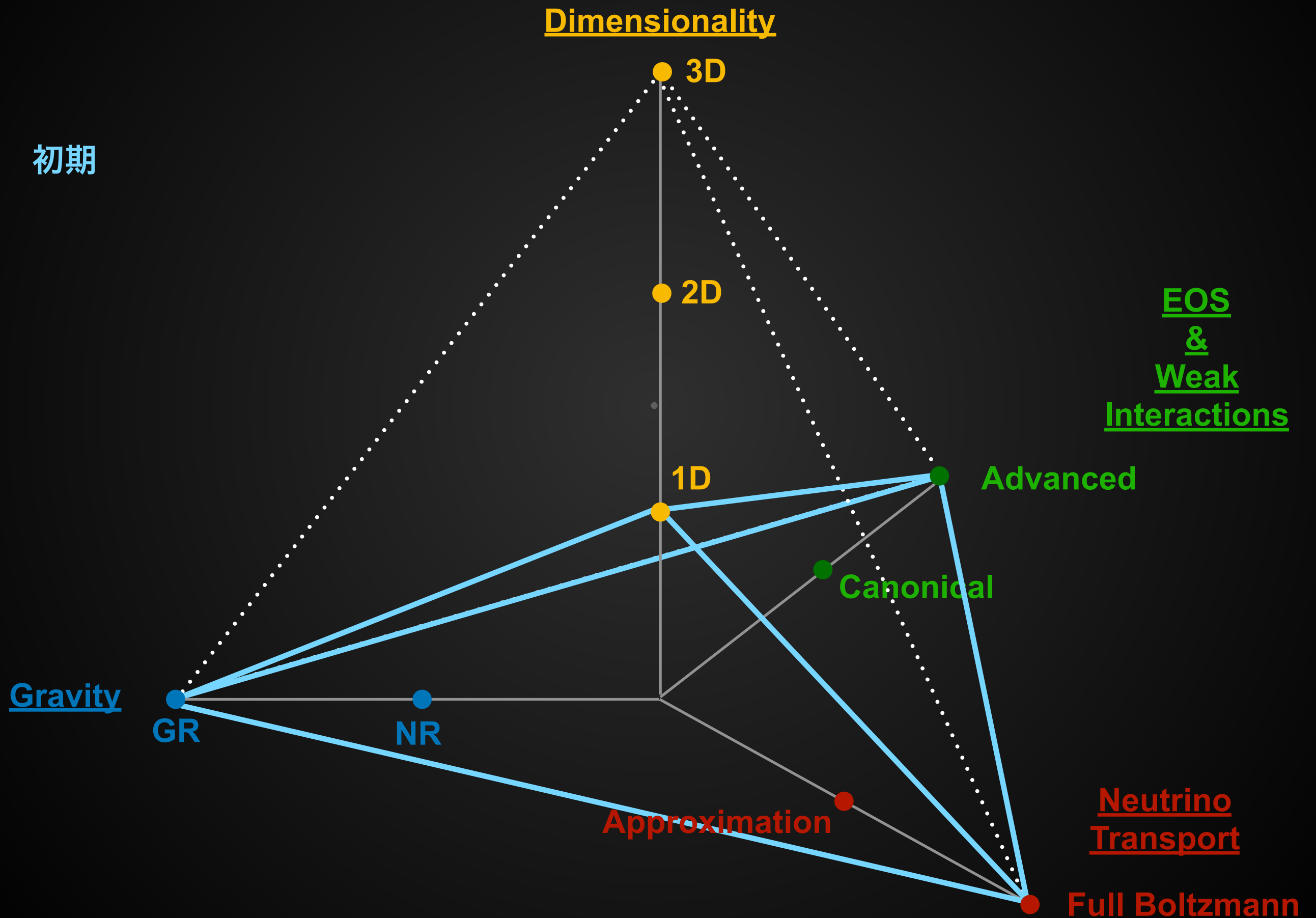
(Copyright by AAO, photographs by D. Malin)

## Explosion Scenario

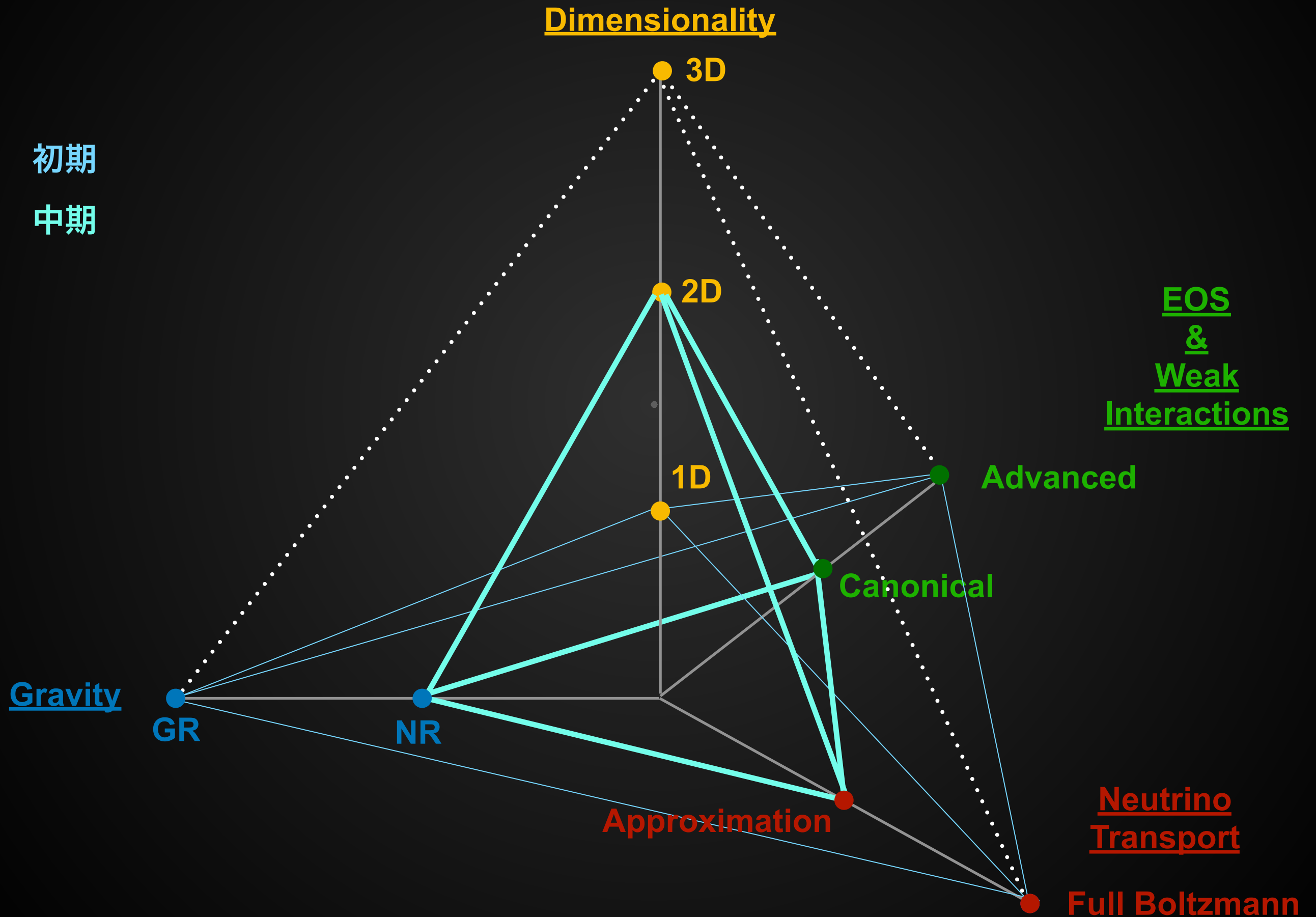
Neutrino Heating Mechanism



# Current Status of Supernovae Simulation

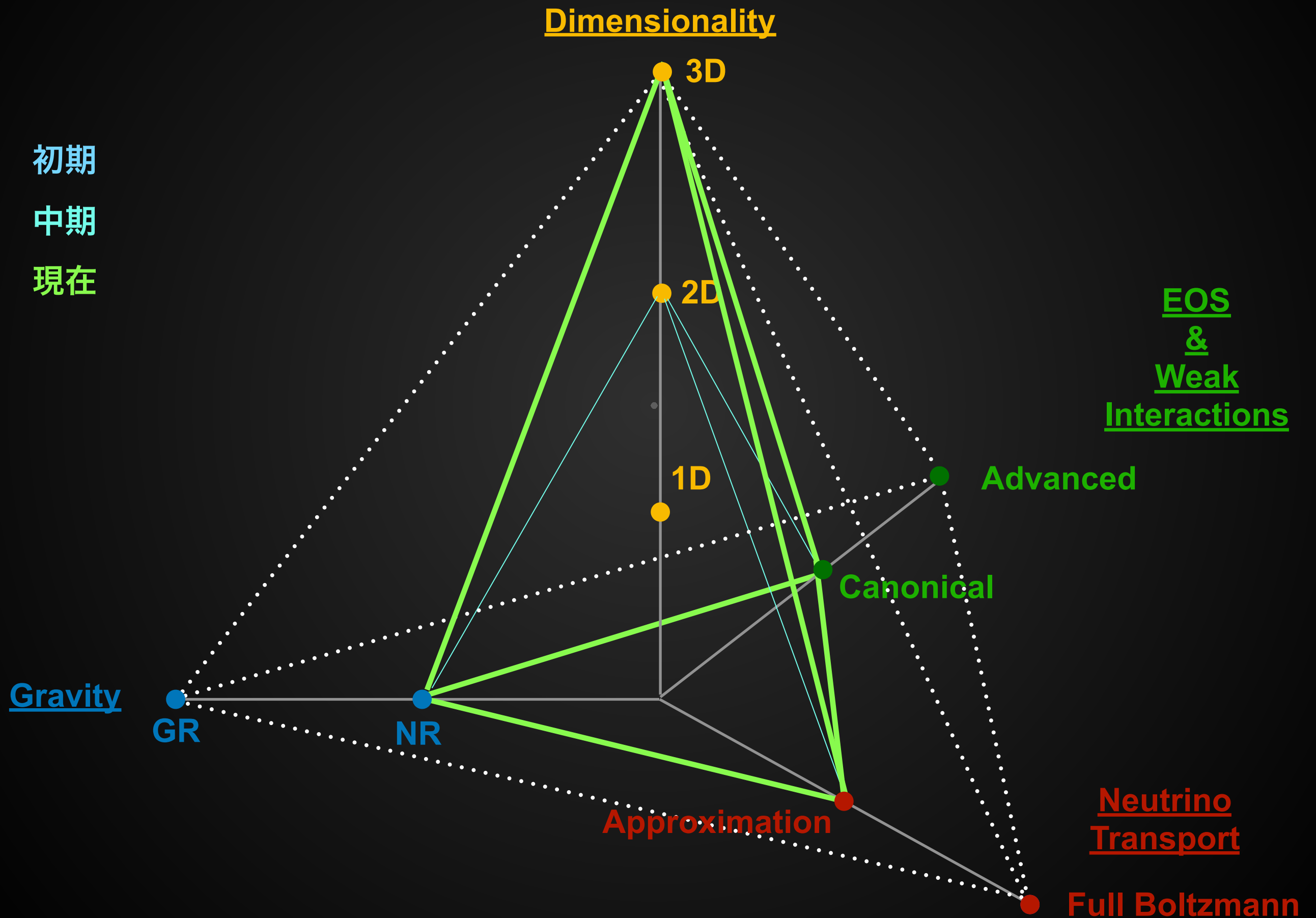


# Current Status of Supernovae Simulation





# Current Status of Supernovae Simulation

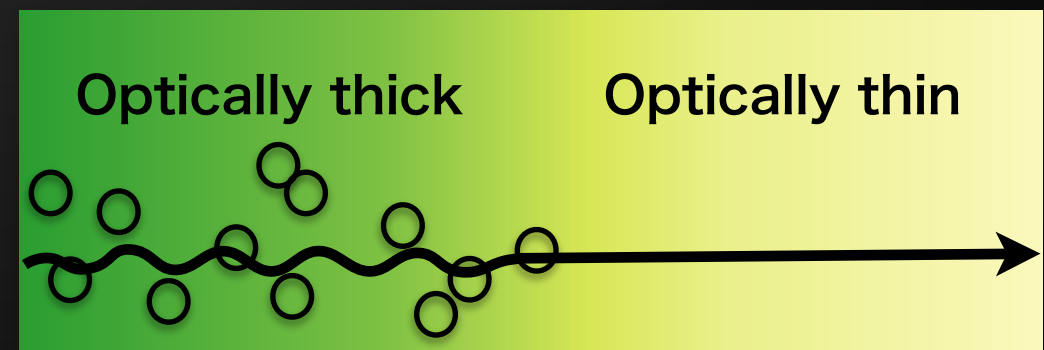
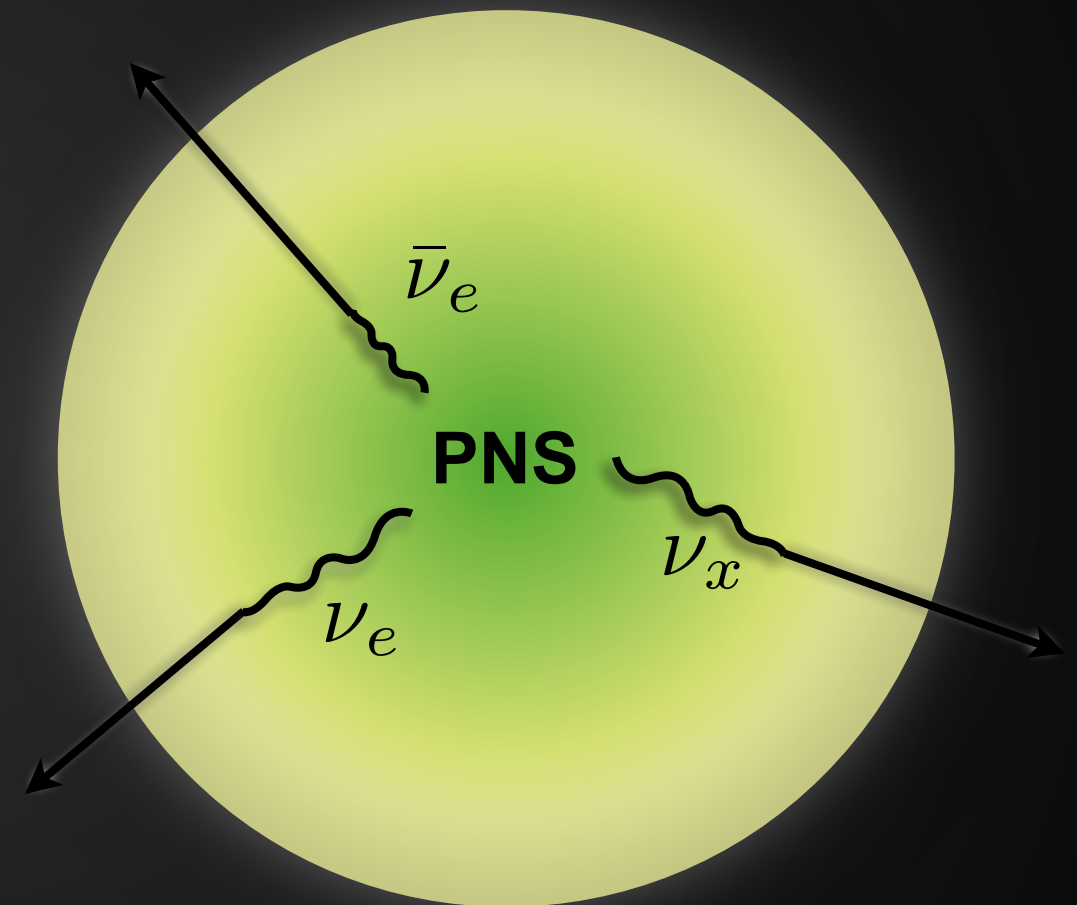


# ニュートリノ放射輸送の近似法

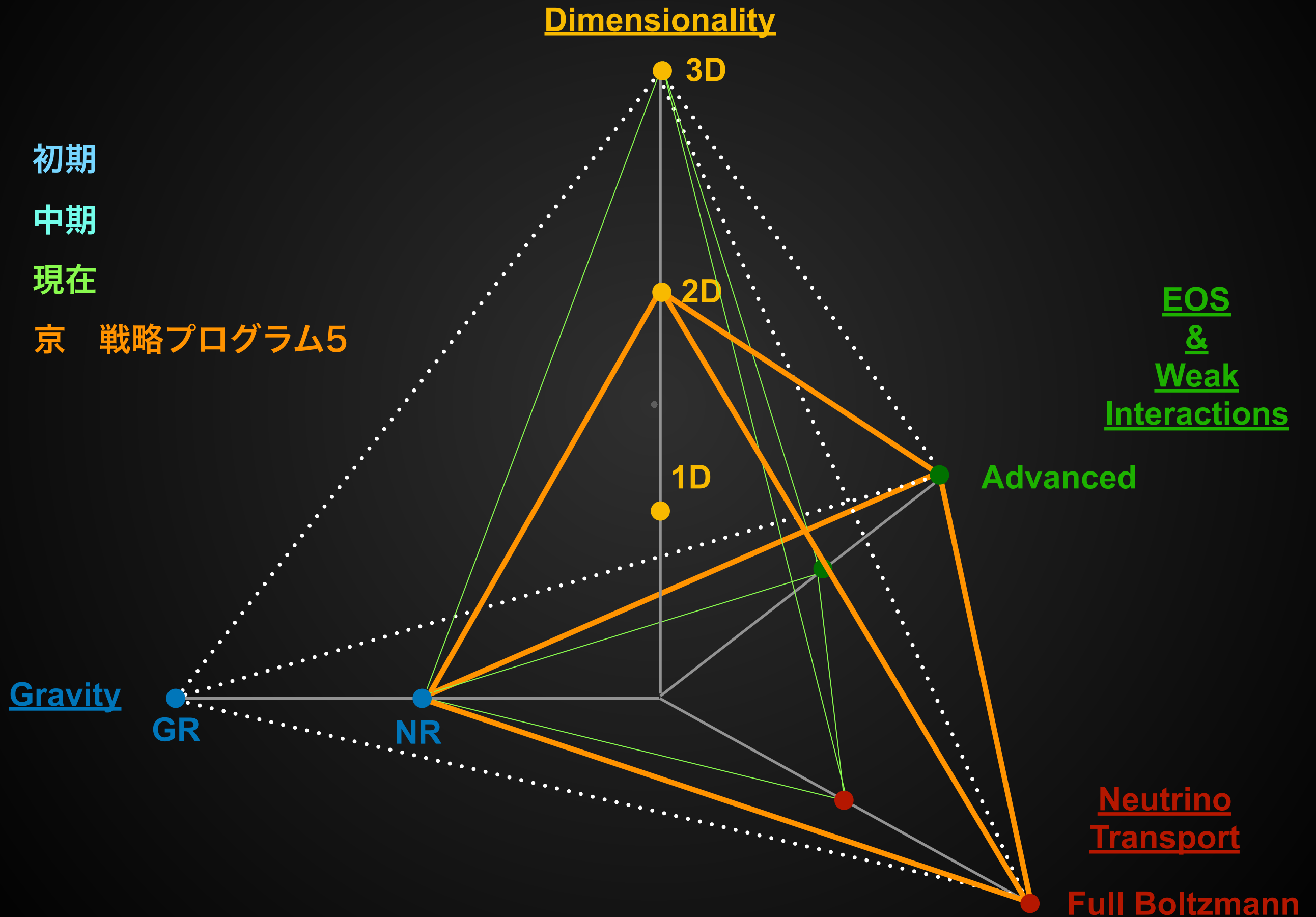
ボルツマン方程式

$$\frac{dx^\mu}{d\lambda} \frac{\partial f}{\partial x^\mu} + \frac{dp^i}{d\lambda} \frac{\partial f}{\partial p^i} = \left( \frac{\delta f}{\delta \lambda} \right)_{\text{collision}}$$

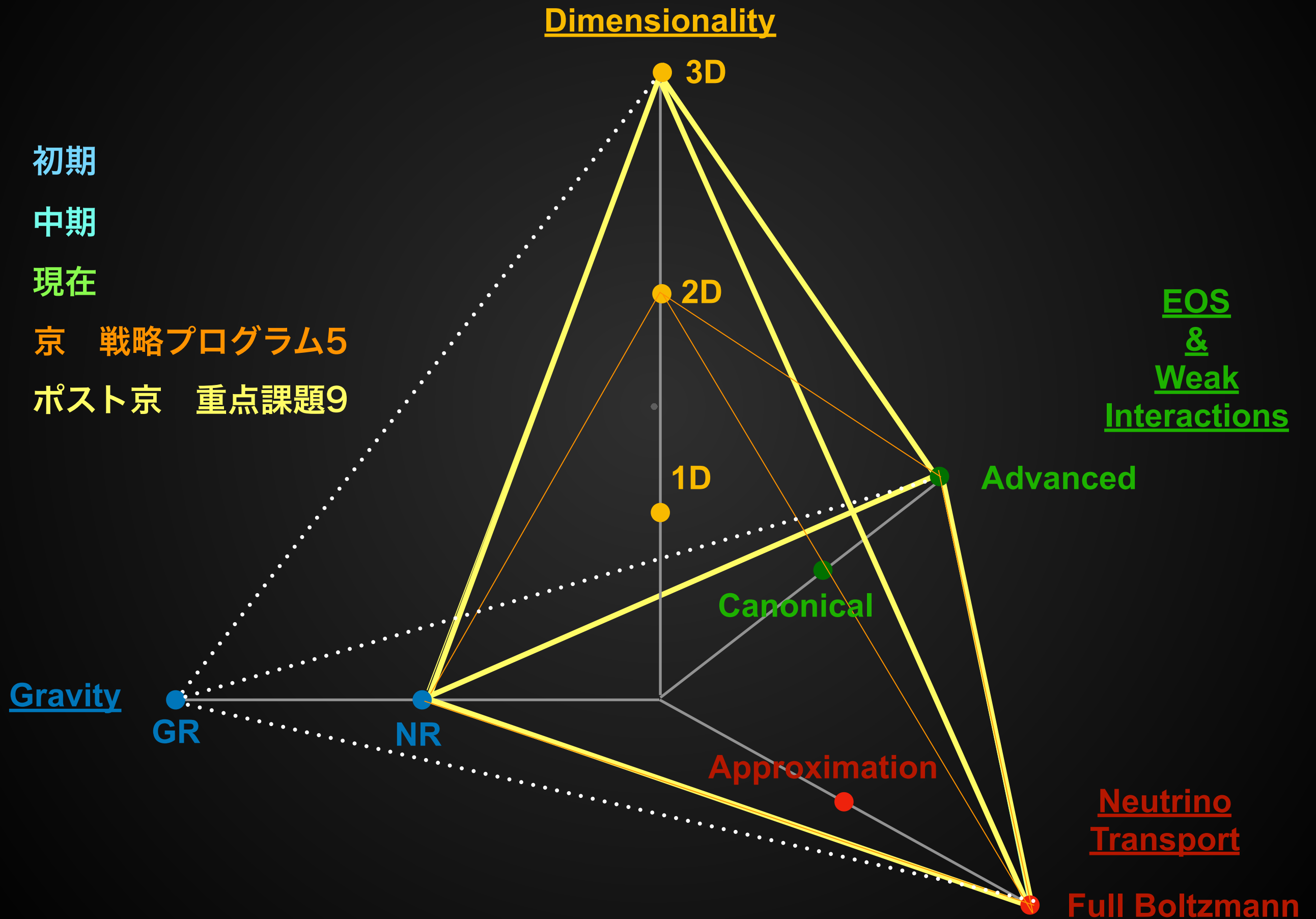
- Leakage Scheme
- Light Bulb Approximation
- Ray-by-Ray Approach
- IDSA (Isotropic Diffusion Source Approximation)
- Moment method
- MGFLD (Multi-Group Flux Limited Diffusion) method using moment equations



# Current Status of Supernovae Simulation

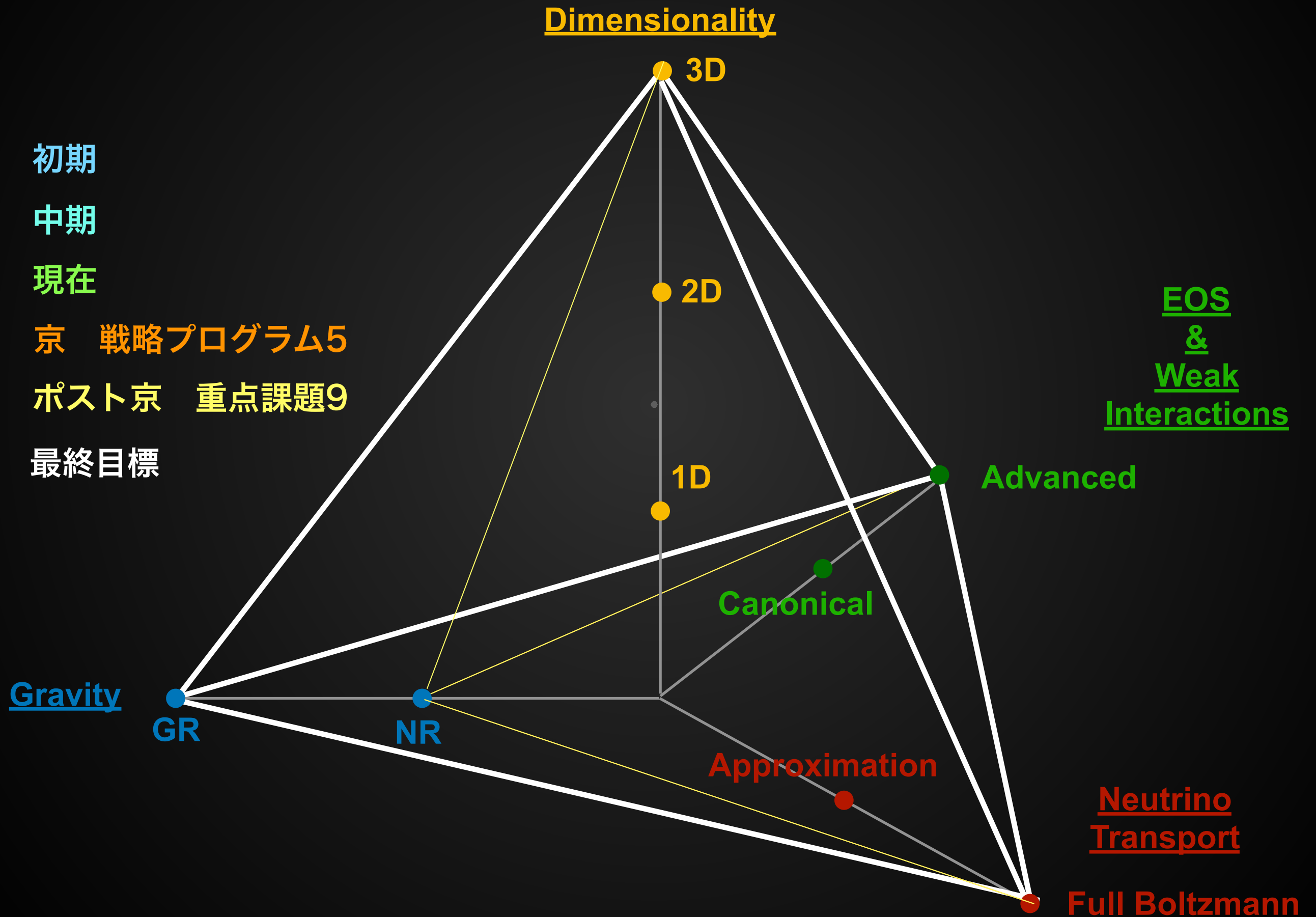


# Current Status of Supernovae Simulation

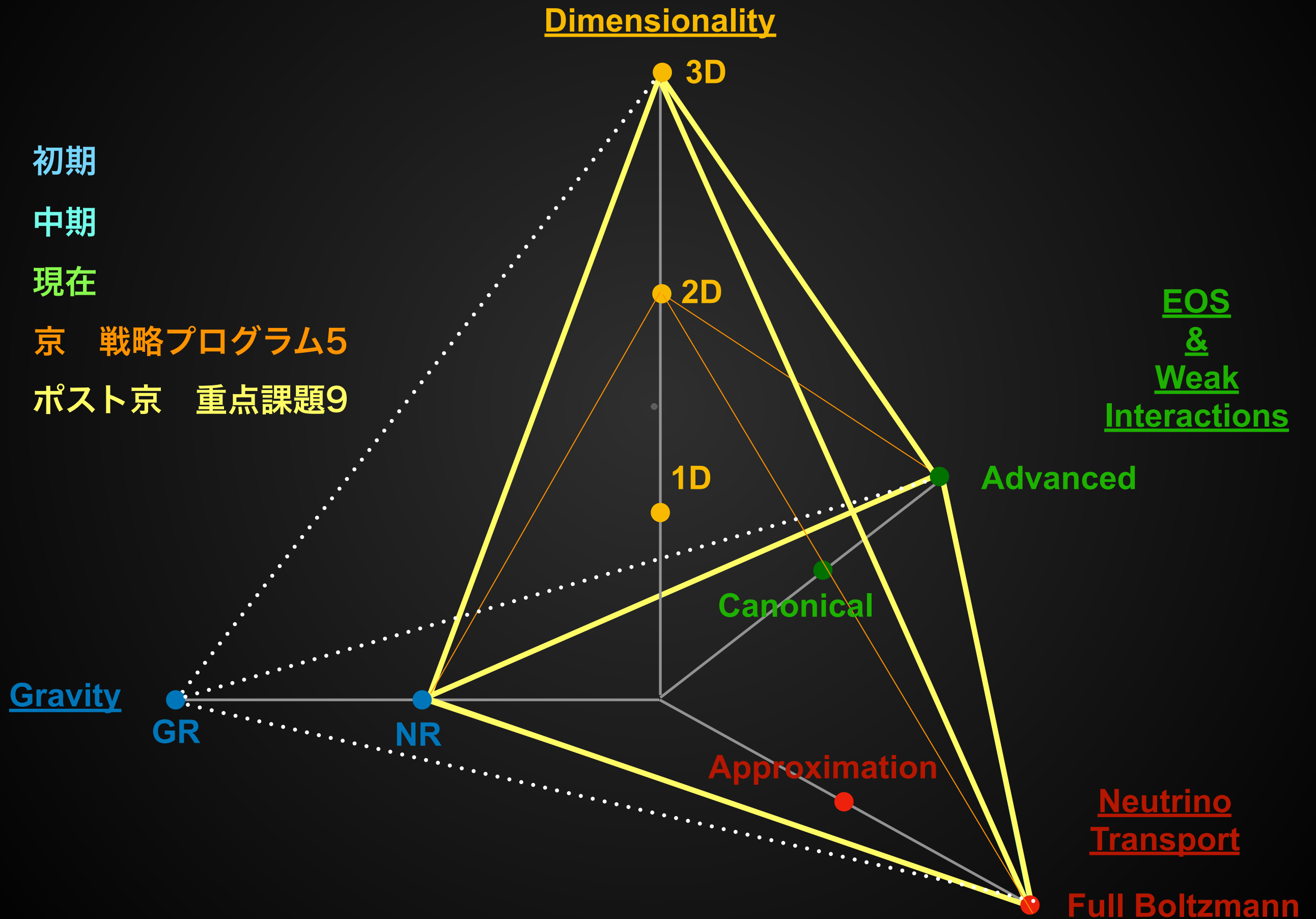




# Current Status of Supernovae Simulation



# Current Status of Supernovae Simulation



# 発表内容

- 1) 3次元流体ソルバーの検証
- 2) 6次元ボルツマンソルバーの検証
- 3) ボルツマンハイドロコードの効率改善
- 4) 半径10km付近の軸付近の数値振動抑制とクーラン条件の緩和
- 5) Furusawa-Togashi EOSコードへのアップグレード
- 6) ボルツマンハイドロコードによる空間三次元計算の実行

# 1) 3次元流体ソルバーの検証

## Euler Equations

Hydrodynamics

Continuity Equation:

$$\frac{\partial \rho}{\partial t} + \frac{\partial}{\partial x^j} (\rho v^j) = 0$$

Equations of Motion:

$$\frac{\partial}{\partial t} (\rho v_i) + \frac{\partial}{\partial x^j} (\rho v_i v^j + P \delta_i^j) = -\rho \frac{\partial \psi}{\partial x^j} - G^i$$

Energy Equation:

$$\frac{\partial}{\partial t} \left( \frac{1}{2} \rho v^2 + e \right) + \frac{\partial}{\partial x^j} \left[ \left( \frac{1}{2} \rho v^2 + e + P \right) v^j \right] = -\rho v^j \frac{\partial \psi}{\partial x^j} - G^0$$

Time-Evolution Equation of Electron Number:

$$\frac{\partial}{\partial t} \left( \frac{\rho Y_e}{m_A} \right) + \frac{\partial}{\partial x^j} \left( \frac{\rho Y_e}{m_A} v^j \right) = -\Gamma$$

1D Poisson's equation for gravity:

$$\Delta \psi = 4\pi G \rho$$

EOS table of Nuclear Matter:

$$P = P(\rho, T, Y_e)$$

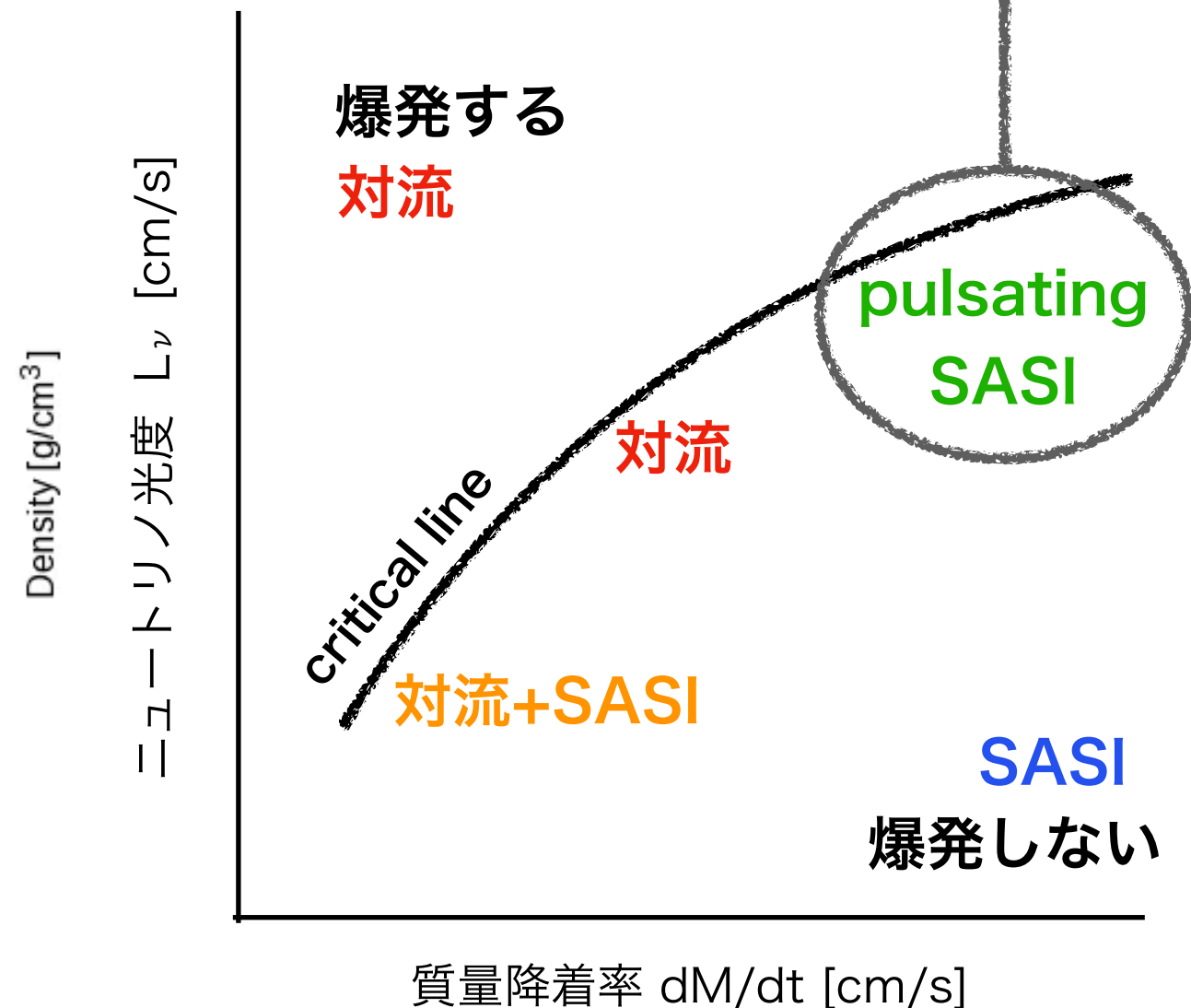
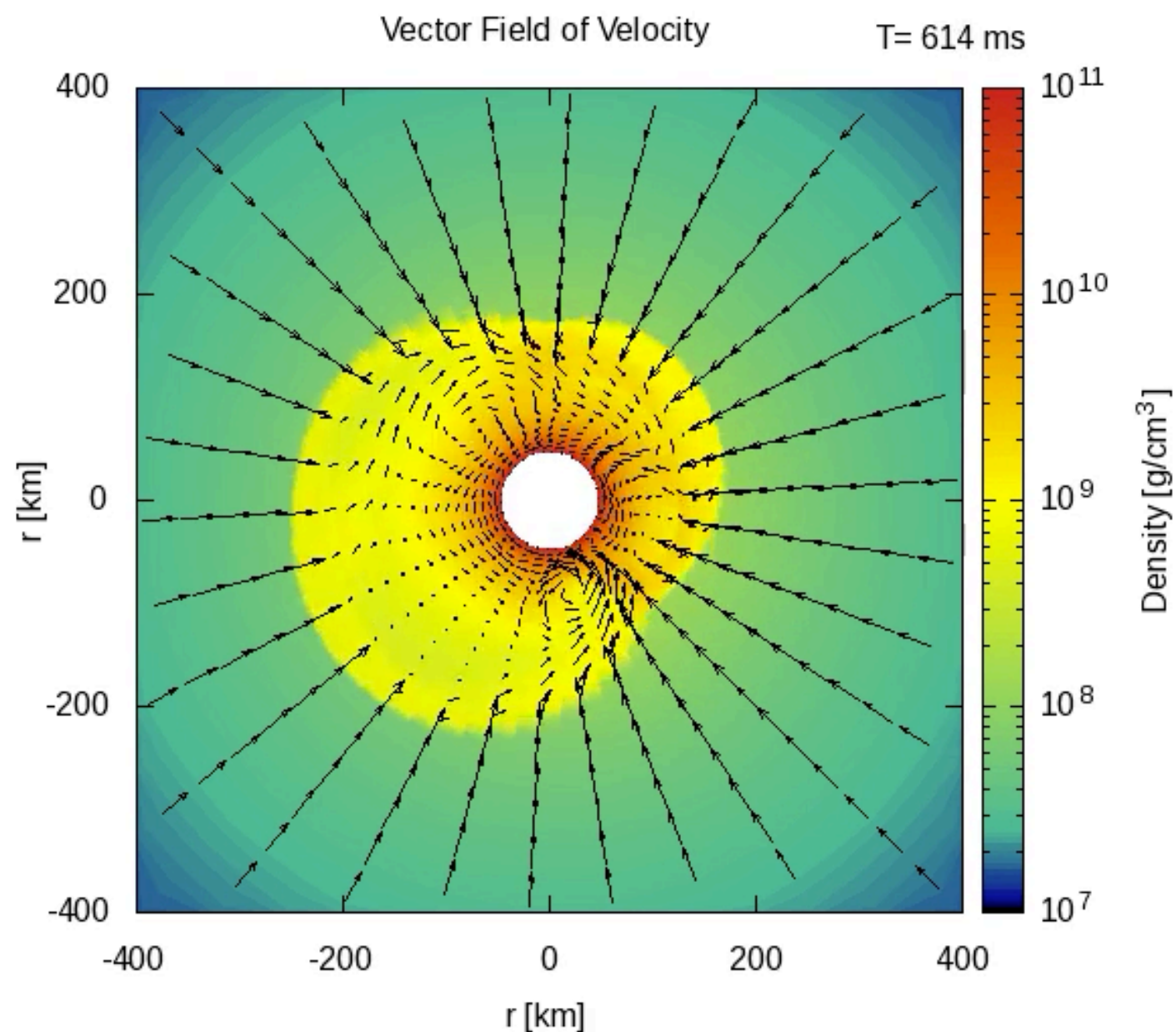
$\rho$ : density,  $v$ : velocity,  $P$ : pressure,  $e$ : internal energy,  $\psi$ : the gravitational potential,  $G$ : the gravitational constant ( $=6.67 \times 10^{-8} [\text{cm}^3 \text{g}^{-1} \text{s}^2]$ ),  $Y_e$ : electron fraction,  $T$ : temperature,  $m_A$ : the atomic mass unit,  $G^0$ : neutrino heating rate,  $G^i$ : neutrino radiation pressure,  $\Gamma$ : deleptonization rate ( $\equiv \Gamma_{\nu_e} - \Gamma_{\bar{\nu}_e}$ ),  $\Gamma_s$ : neutrino reaction rate



# 1) 3次元流体ソルバーの検証

ZEUS-MP/2コードで計算した結果 (Iwakami(2014)) と定性的に一致。

Spiral モード振幅の増幅と減少を繰り返し、増幅する度に回転方向が変化する、  
複雑なパターンを再現



## 2) 6次元ボルツマンソルバーの検証

### Boltzmann Equation

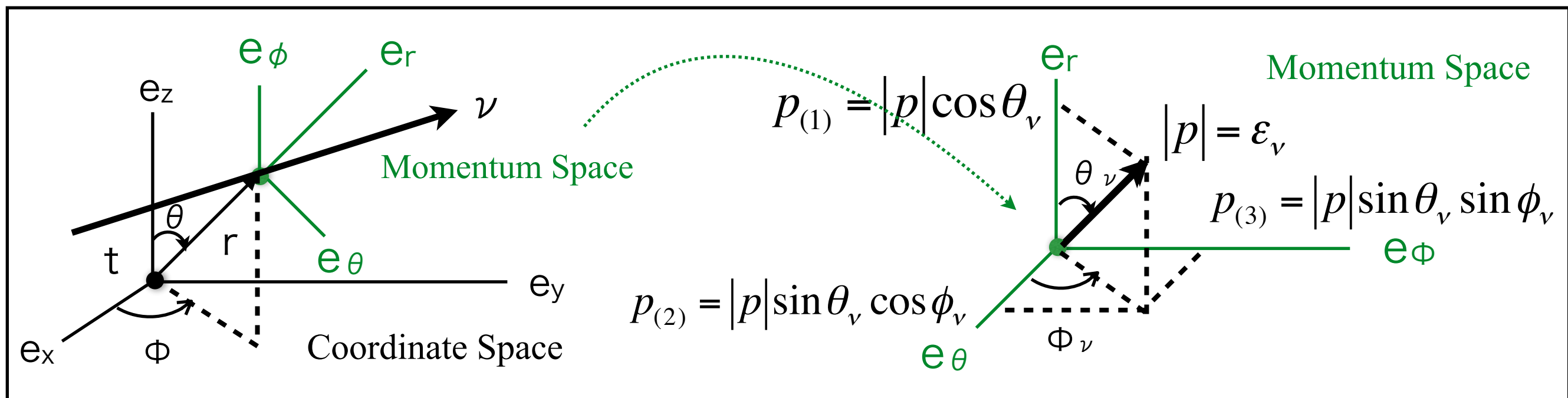
Neutrino Radiation

Neutrino distribution function

$$f(t, r, \theta, \phi, \varepsilon_\nu, \theta_\nu, \phi_\nu)$$

Boltzmann Equation in the spherical coordinate

$$\frac{\partial f}{\partial t} + \cos \theta_\nu \frac{\partial f}{\partial r} + \frac{\sin \theta_\nu \cos \theta_\nu}{r} \frac{\partial f}{\partial \theta} + \frac{\sin \theta_\nu \sin \phi_\nu}{r \sin \theta} \frac{\partial f}{\partial \phi} - \frac{\sin \theta_\nu}{r} \frac{\partial f}{\partial \theta_\nu} - \frac{\cos \theta}{\sin \theta} \frac{\sin \theta_\nu \sin \phi_\nu}{r} \frac{\partial f}{\partial \phi_\nu} = \left( \frac{\delta f}{\delta t} \right)_{\text{collision}}$$



## 2) 6次元ボルツマンソルバーの検証

### Collision Terms

$$\left[ \frac{\delta f}{\delta \tau} \right]_{\text{emis-abs}} = -R_{\text{abs}}(\varepsilon, \Omega) f(\varepsilon, \Omega) + R_{\text{emis}}(\varepsilon, \Omega) [1 - f(\varepsilon, \Omega)].$$

$$\begin{aligned} \left[ \frac{\delta f}{\delta \tau} \right]_{\text{pair}} = & - \int \frac{d\varepsilon' \varepsilon'^2}{(2\pi)^3} \int d\Omega' R_{\text{pair-anni}}(\varepsilon, \Omega; \varepsilon', \Omega') \\ & \times f(\varepsilon, \Omega) \bar{f}(\varepsilon', \Omega') + \int \frac{d\varepsilon' \varepsilon'^2}{(2\pi)^3} \int d\Omega' R_{\text{pair-emis}}(\varepsilon, \Omega; \varepsilon', \Omega') \\ & \times [1 - f(\varepsilon, \Omega)] [1 - \bar{f}(\varepsilon', \Omega')], \end{aligned}$$

$\bar{f}(\varepsilon', \Omega')$  denotes the distribution of anti-neutrinos, which is the angle-averaged distribution in the previous time step.

$$\begin{aligned} \left[ \frac{\delta f}{\delta \tau} \right]_{\text{scat}} = & - \int \frac{d\varepsilon' \varepsilon'^2}{(2\pi)^3} \int d\Omega' R_{\text{scat}}(\varepsilon, \Omega; \varepsilon', \Omega') f(\varepsilon, \Omega) \\ & \times [1 - f(\varepsilon', \Omega')] + \int \frac{d\varepsilon' \varepsilon'^2}{(2\pi)^3} \int d\Omega' R_{\text{scat}}(\varepsilon', \Omega'; \varepsilon, \Omega) \\ & \times f(\varepsilon', \Omega') [1 - f(\varepsilon, \Omega)], \end{aligned}$$

$\Omega'$  denotes the angle variables after/before the scattering

$R(\varepsilon, \Omega)$  : reaction rate (see Bruenn1985)

### Detailed Balance

$$R_{\text{emis}}(\varepsilon, \Omega) = R_{\text{abs}}(\varepsilon, \Omega) e^{-\beta(\varepsilon - \mu_\nu)}$$

$$R_{\text{pair-emis}}(\varepsilon, \Omega; \varepsilon', \Omega') = R_{\text{pair-anni}}(\varepsilon, \Omega; \varepsilon', \Omega') e^{-\beta(\varepsilon + \varepsilon')}$$

$\beta = 1/k_B T$  : inverse of temperature

$\mu_\nu = \mu_p + \mu_e - \mu_n$  : chemical potential

$\Omega = (\theta_\nu, \phi_\nu)$  : solid angle

### Iso-energy scattering

$$R_{\text{scat}}(\Omega'; \Omega) = R_{\text{scat}}(\Omega; \Omega')$$



## 2) 6次元ボルツマンソルバーの検証

Sumiyoshi(2014)の $\nu_e$ 、 $\nu_{\text{ebar}}$ 、 $\nu_x$ の数密度やフラックスの分布図を比較。  
定性的に一致していることを確認。

3次元流体ソルバーとの結合の際に、並列化、チューニング、改良など、  
オリジナルのコードから大幅な変更あり（定量的に異なるような変更も含む）。

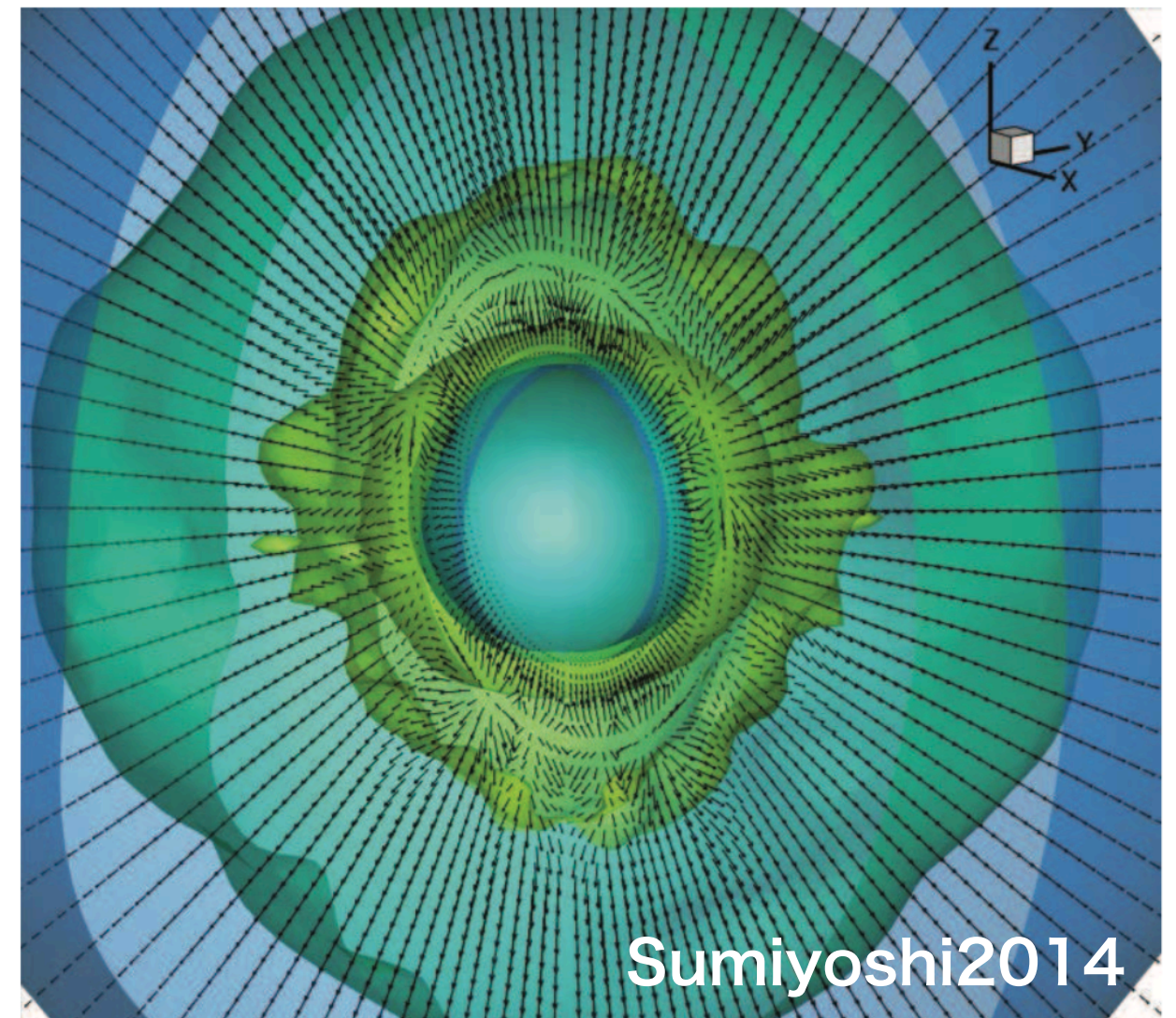
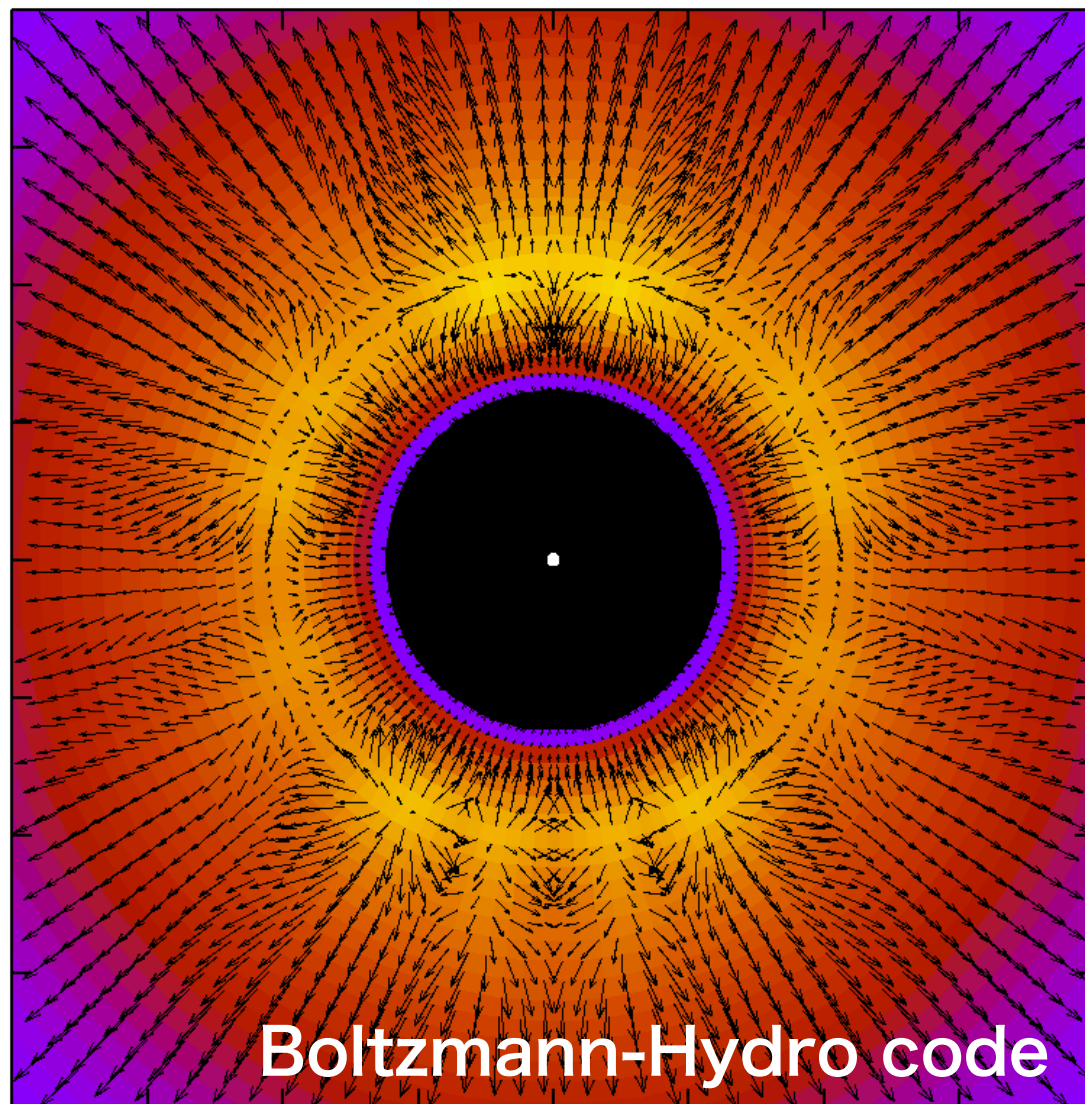


Fig. 5.— Iso-surfaces of density of electron-type anti-neutrinos ( $\bar{\nu}_e$ ) for the 3D supernova core at 150 ms after the bounce. Arrows represent the flux vector of neutrinos.



### 3) ボルツマンハイドロコードの効率改善

8%程度だった効率を10%程度に改善した。

STEP1 流体の方程式のニュートリノソース項以外の時間発展を解く

A) 圧力項と屈曲項の計算

B) 重力項を計算

C) 移流項の計算

効率低

STEP2 ボルツマン方程式の時間発展を解く

A) 衝突項の計算

B) 移流項の計算

効率高

STEP3 流体の方程式のニュートリノソース項による時間発展を解く

A) ニュートリノソース項の計算

$\Delta t_{\text{hydro}}$ が $\Delta t_{\text{boltz}}$ よりも非常に小さくなっていてSTEP1の繰り返し回数が増大していた。

タイムステップの評価を修正し、

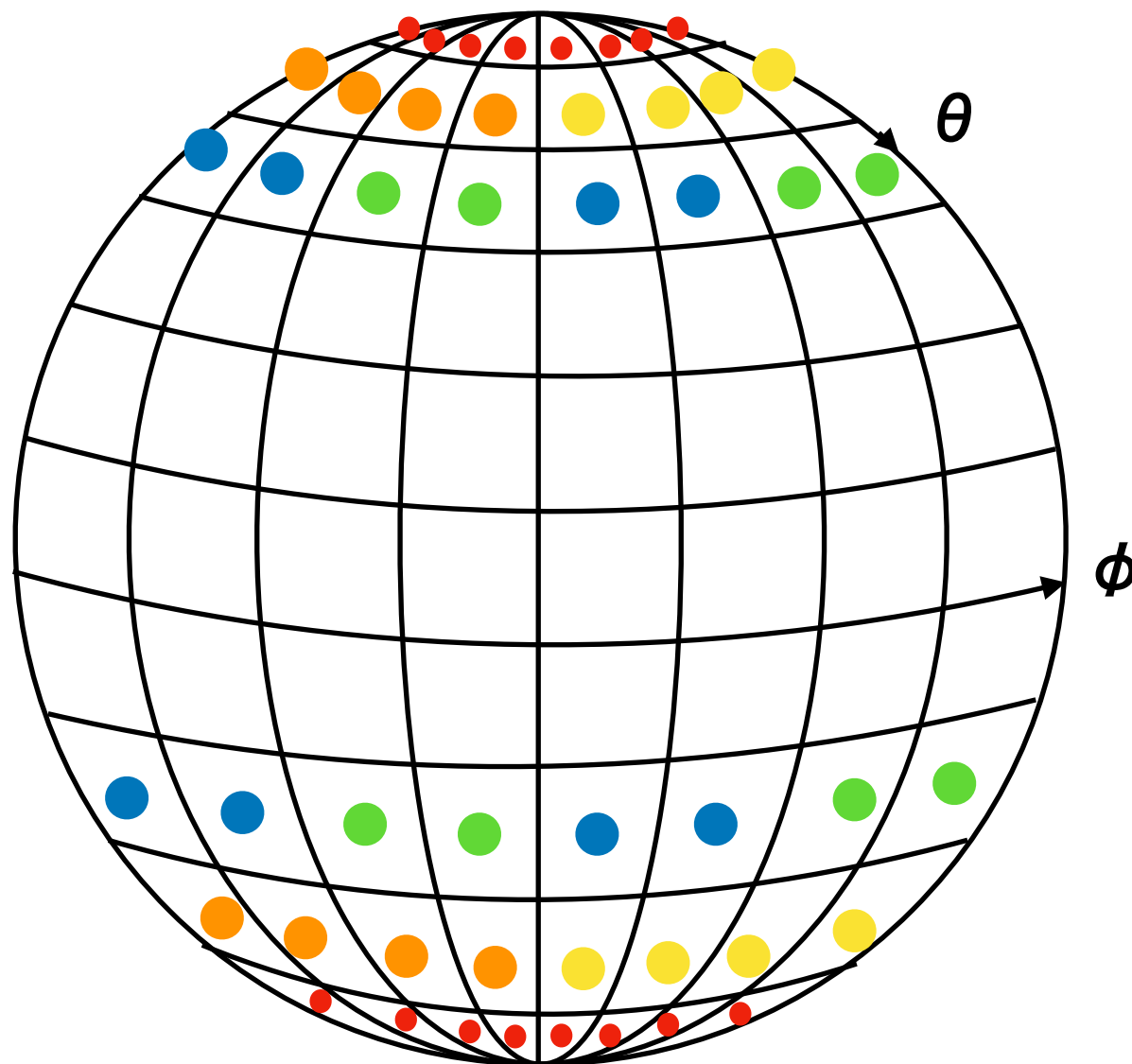
$\Delta t_{\text{hydro}} = \Delta t_{\text{boltz}} < \min(\Delta x)/c$ とした。

## 4) 軸付近の数値振動抑制とクーラン条件の緩和

半径10km付近のニュートリノ加熱項の空間的変動が激しい領域 →

軸付近のみ $V_\theta$ や $V_\phi$ が局所的に異常に早く成長する

軸付近のグリッドが細かい領域で複数の $\phi$ 方向メッシュに対し保存量を平均化する、**粗視平均化**を行うルーチンを導入（流体のみ）



$N_\theta=48$ ,  $N_\phi=96$ のとき半径12km以下の領域で、

$\theta_1, \theta_N$  : 8点を平均化

$\theta_2, \theta_{N-1}$  : 4点を平均化

$\theta_3, \theta_{N-2}$  : 2点を平均化

上記の問題の発生を抑制できることを確認。

クーラン条件の緩和も期待できる。

どのパラメータであれば計算が変わらないか、  
dtをどれだけ伸ばせるかを確認することは今後の課題

# 5) Furusawa-Togashi EOSコードへのアップデート

ボルツマンハイドロコードに実装されているEOS

## LS EOS (Lattimer & Swesty)

一様な原子核物質に対し**非相対論的なスキルム型**を適用。  
多種の原子核を**単一の原子核**で近似。

反応率を正確に  
計算できない

## Shen EOS (Shen et al.)

一様な原子核物質に対し**相対論的平均場理論**を適用。  
多種の原子核を**単一の原子核**で近似。

## FS EOS (Furusawa et al.)

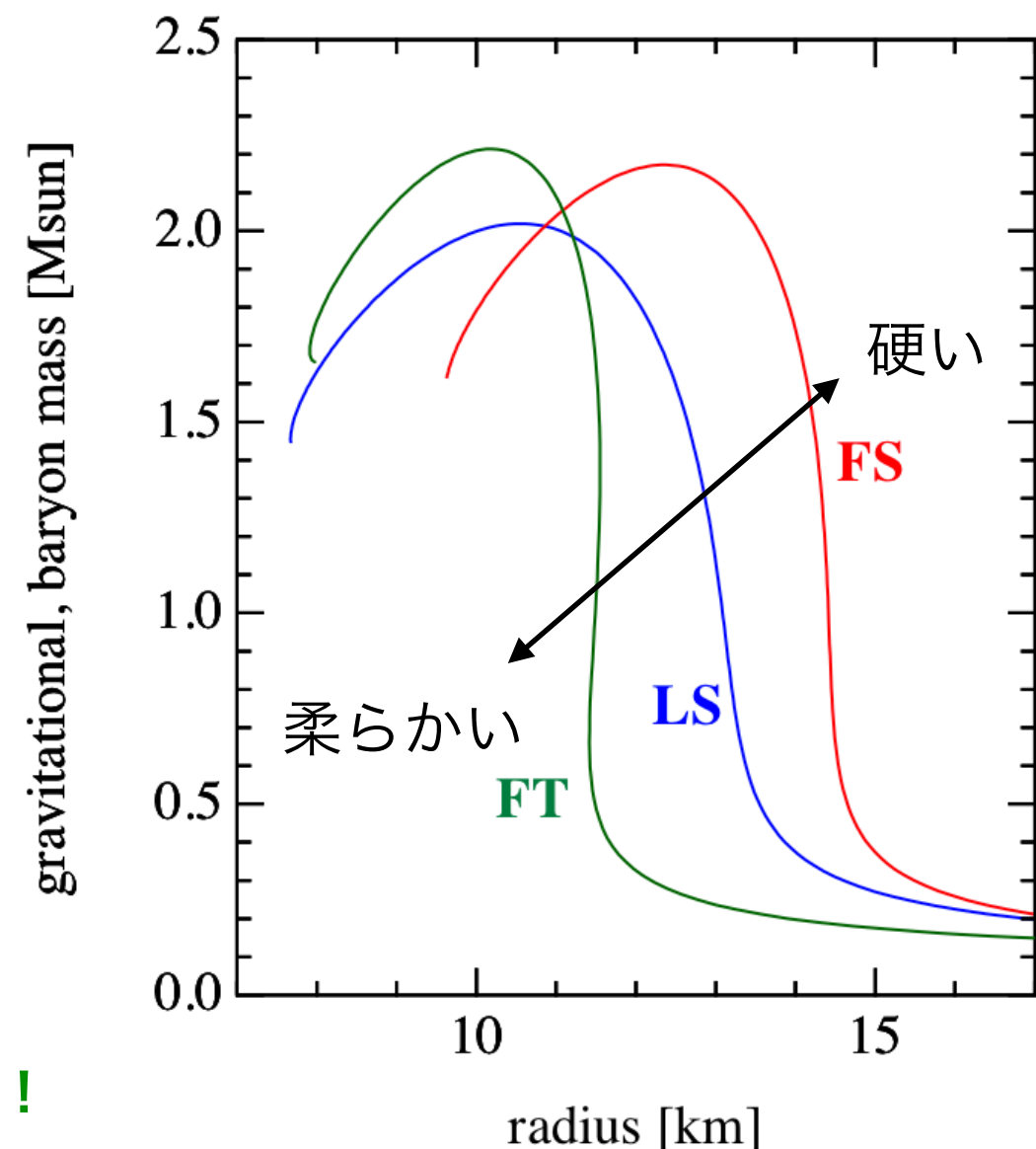
一様な原子核物質に対し**相対論的平均場理論**を適用。  
**多核種**を考慮。

## FT EOS (Furusawa-Togashi)

一様な原始核物質に対し**多体理論により計算された現実的な核力**を適用。**多核種**を考慮。

重力波観測、半径の評価、最大質量の全ての制限を満たしている！

中性子星の質量と半径



## 6) ボルツマンハイドロコードによる空間三次元計算の実行

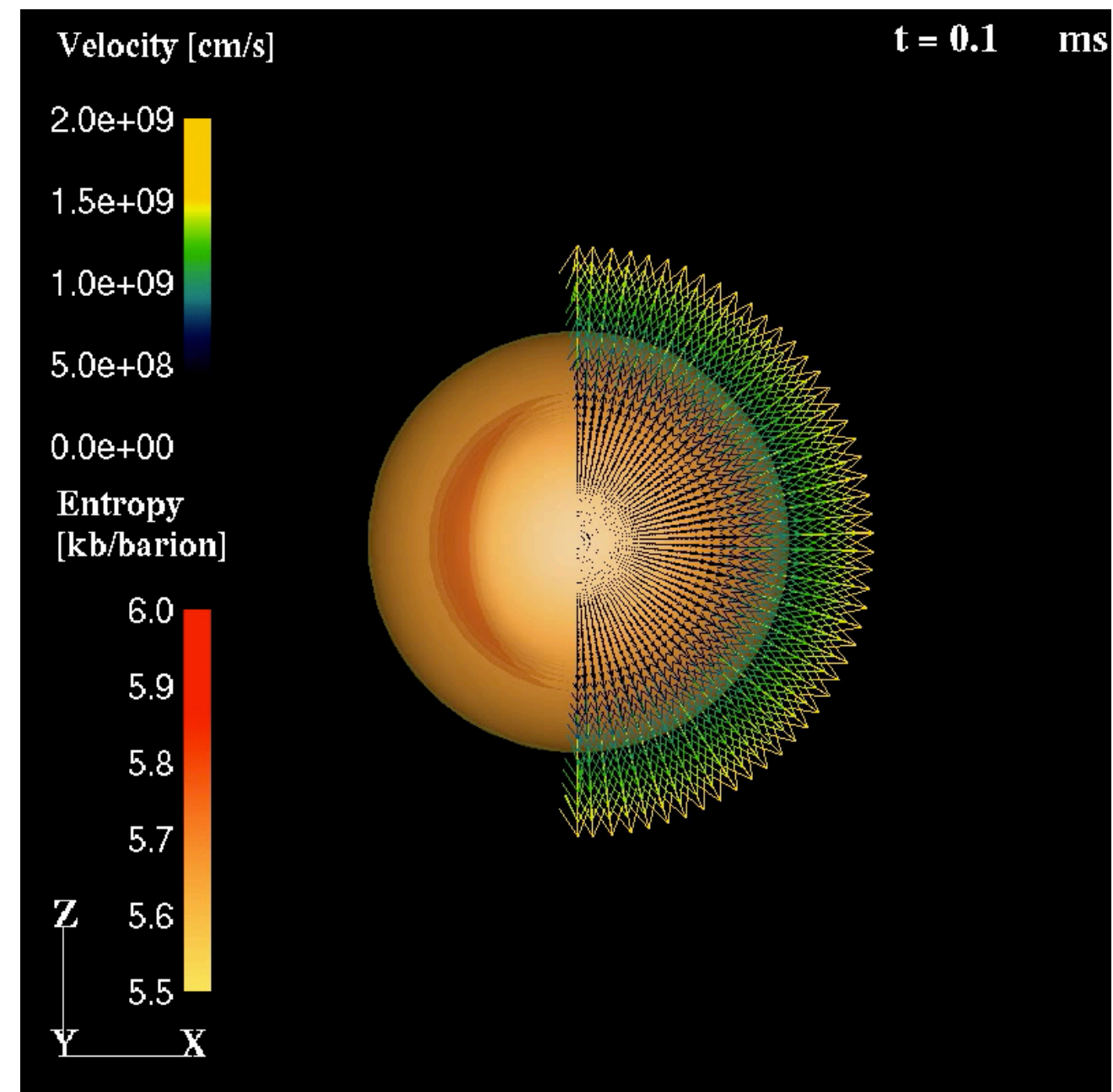
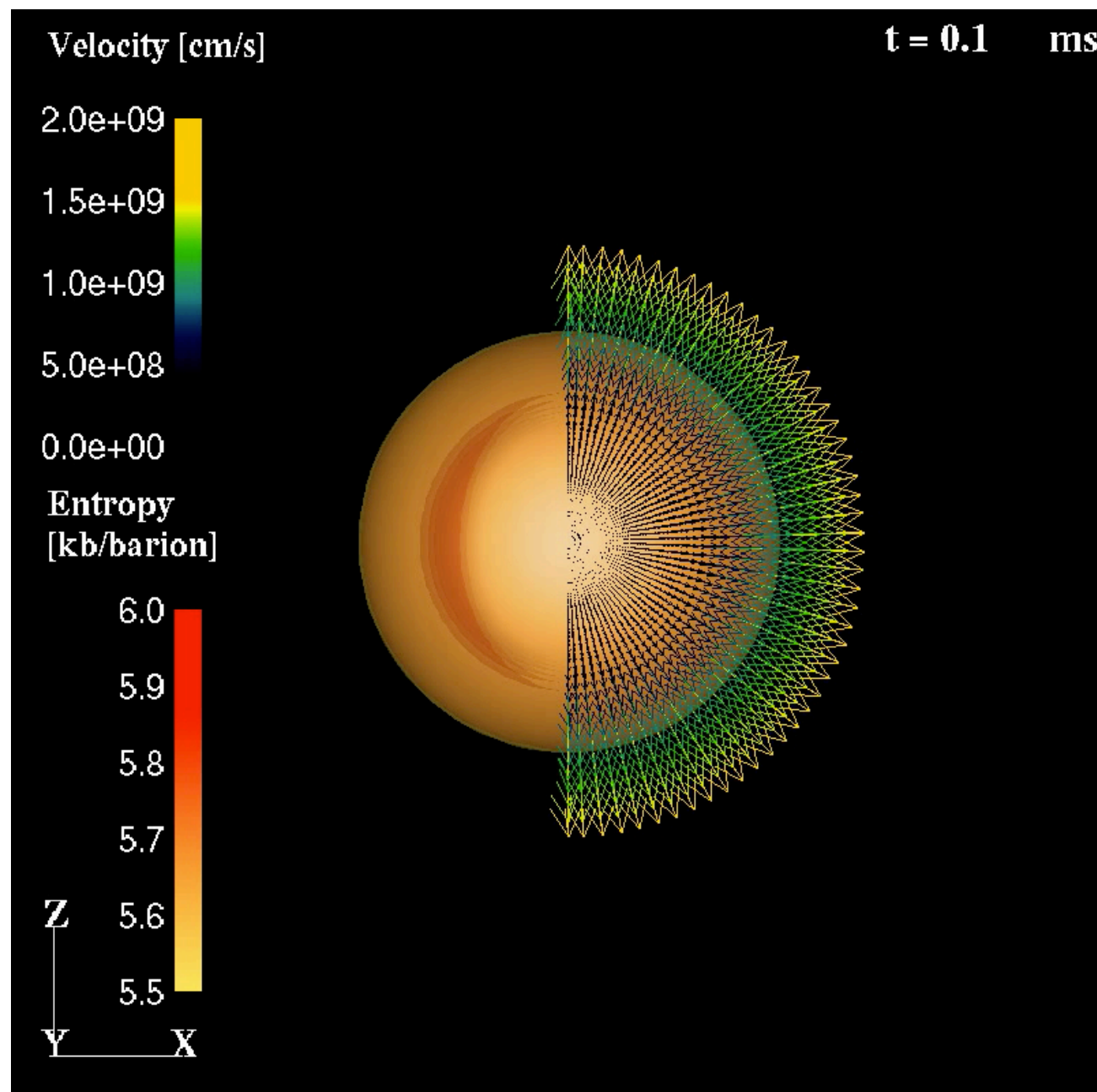
$$N_r \times N_\theta \times N_\phi \times N_{\nu_e} \times N_{\nu_\theta} \times N_{\nu_\phi} = 256 \times 48 \times 96 \times 16 \times 6 \times 6$$

$N_\theta$  を64から48に変更。計算時間短縮と $N_\theta = N_\phi / 2$ とすることで球面調和関数展開による解析で $l$ と $m$ の解像度を同等にするため

2D (子午面)

流体

3D (子午面)





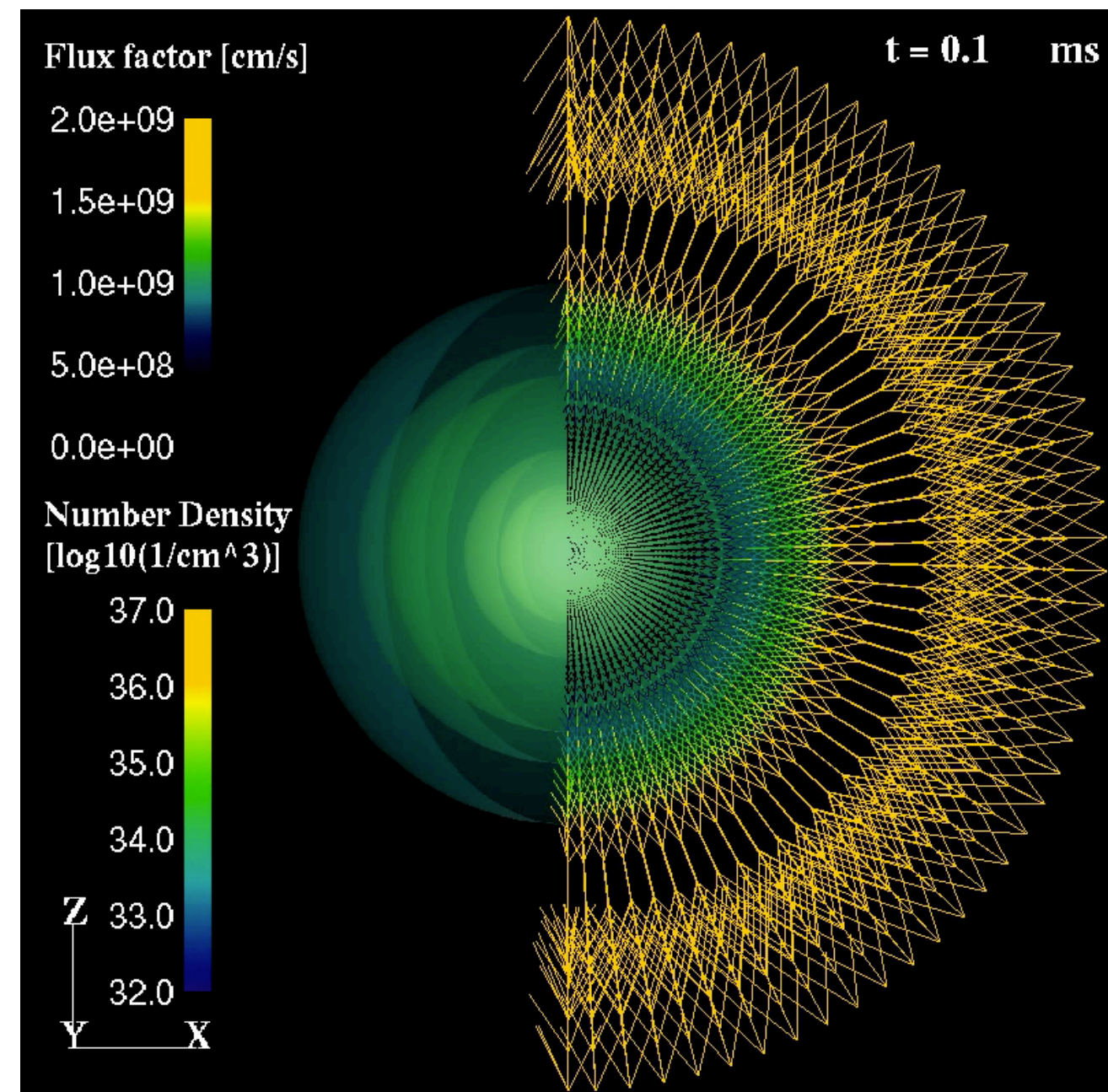
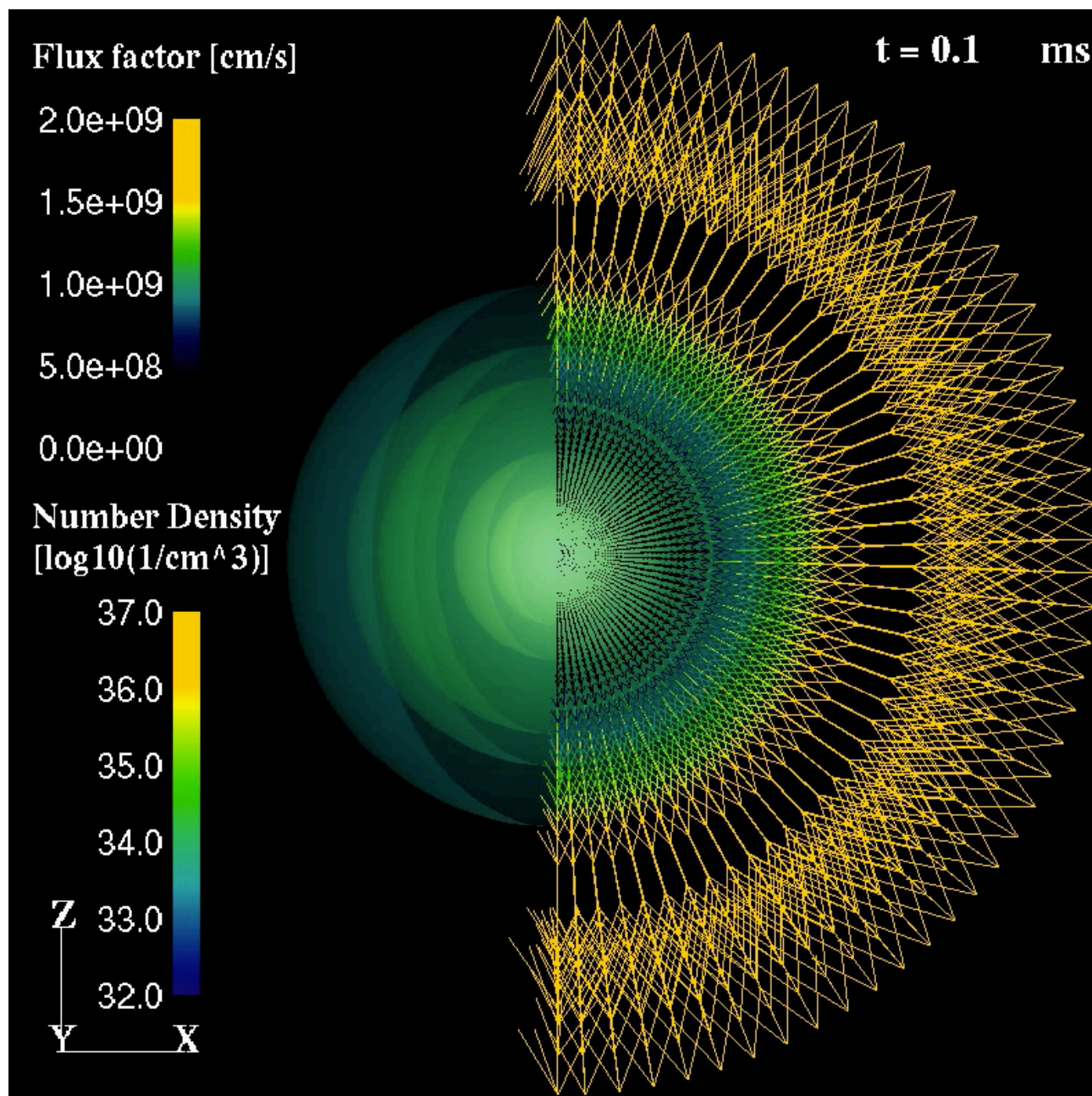
## 6) ボルツマンハイドロコードによる空間三次元計算の実行

バウンス後10msまで計算し、prompt convectionの成長に伴うニュートリノ密度やニュートリノフラックス分布の三次元的構造を捉えることができた。

2D (子午面)

ニュートリノ

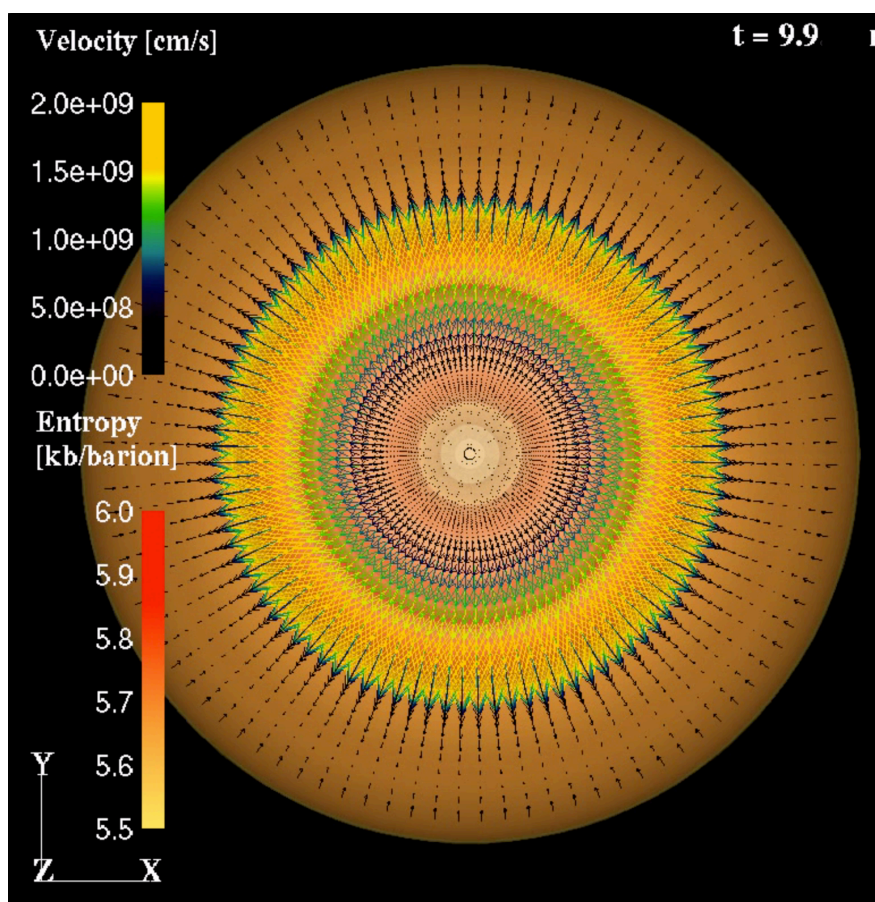
3D (子午面)



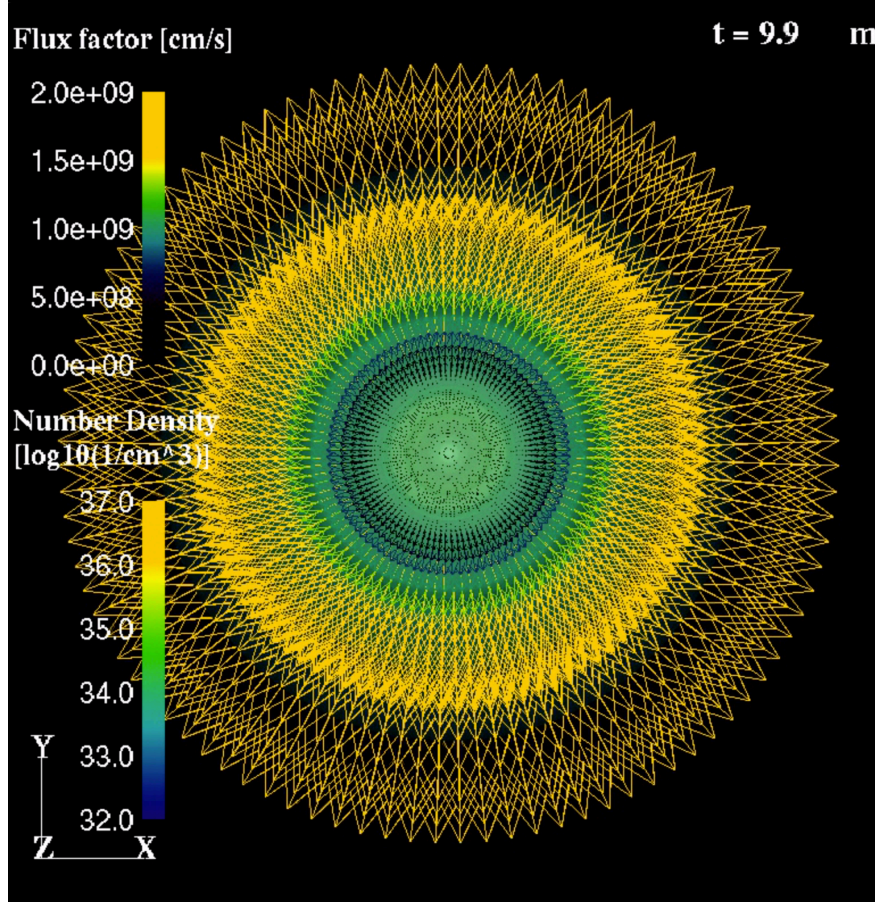


# 6) ボルツマンハイドロコードによる空間三次元計算の実行

2D  
(赤道面)  
流体

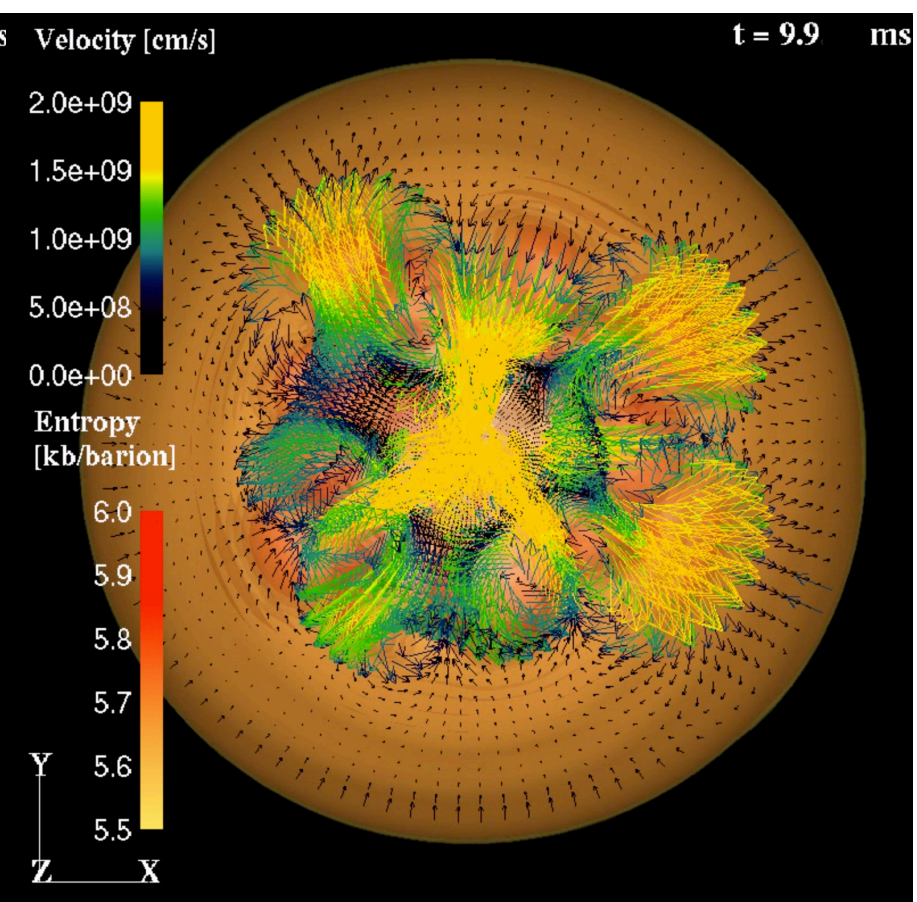


2D  
(赤道面)  
ニュートリノ

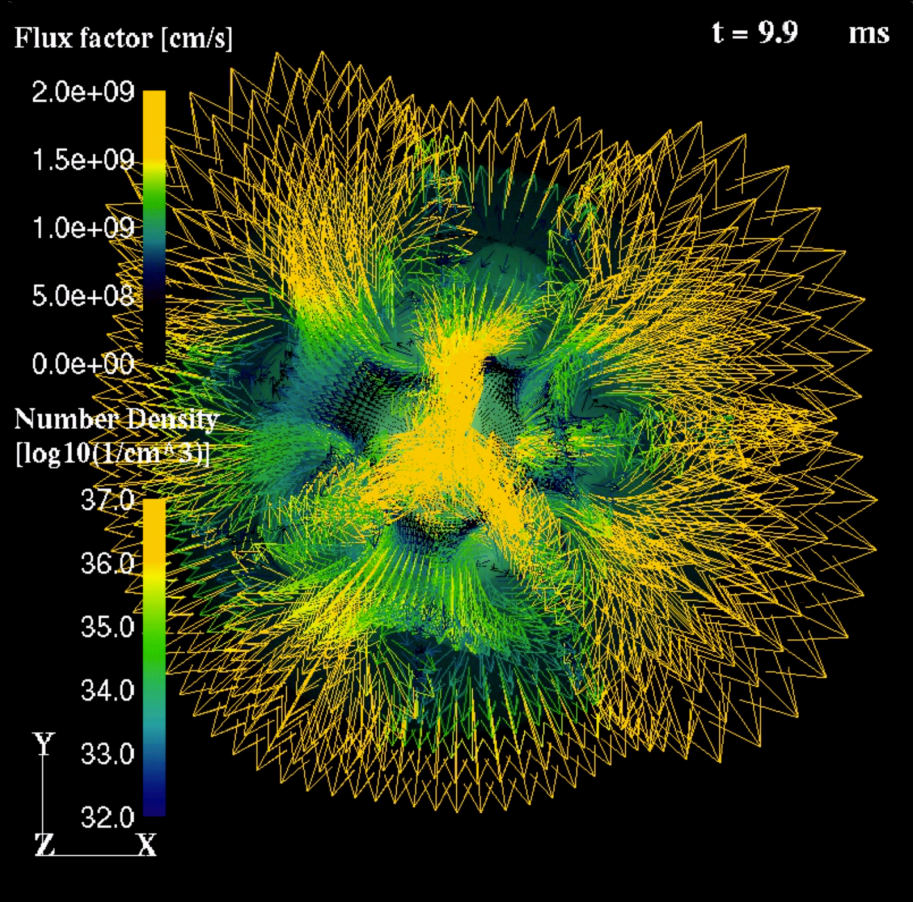


~ 160km

3D  
(赤道面)  
流体



3D  
(赤道面)  
ニュートリノ





# まとめ

## 1) 3次元流体ソルバーの検証

Iwakami(2014)で計算した結果と定性的に一致。Spiral モード振幅の増幅と減少を繰り返し、増幅する度に回転方向が変化する複雑なパターンを再現。

## 2) 6次元ボルツマンソルバーの検証

Sumiyoshi(2014)で計算した結果と定性的に一致。 $\nu_e$ 、 $\nu_{ebar}$ 、 $\nu_x$ の数密度やフラックスを比較。論文の図を再現し、定性的に一致していることを確認。

## 3) ボルツマンハイドロコードの効率改善

8%程度だった効率を10%程度に改善した。

## 4) 半径10km付近の軸付近の数値振動抑制とクーラン条件の緩和

軸付近のグリッドが細かい領域で複数の $\phi$ 方向メッシュに対し保存量を平均化する操作を行うルーチンを導入

## 5) Furusawa-Togashi EOSコードへのアップグレード

Furusawa-Togashi EOSを利用できるボルツマンハイドロコードを三次元計算用に整備

## 6) ボルツマンハイドロコードによる空間三次元計算の実行

$$N_r \times N_\theta \times N_\phi \times N_{\nu_e} \times N_{\nu_\theta} \times N_{\nu_\phi} = 256 \times 48 \times 96 \times 16 \times 6 \times 6$$

バウンス後10msまで計算し、prompt convectionの成長に伴うニュートリノ密度やニュートリノフラックス分布の三次元的構造を捉えることができた。